



6. GAIA ROBOTEN DINAMIKA ETA KONTROLA



ROBOTIKA

AURKIBIDEA

- ▶ DINAMIKA
 - ▶ SARRERA
 - ▶ LAGRANGE-EULER FORMULAZIOA
- ▶ KONTROL ZINEMATIKOA
 - ▶ SARRERA
 - ▶ IBILBIDE-SORKUNTZA
 - ▶ HIGIDURAREN KONTROL ZINEMATIKOA

DINAMIKA: SARRERA

Gorputz baten higiduraren kausen azterketari **dinamika** esaten zaio. Robotaren eredu dinamikoaren kasuan higidura eta sortutako indarren arteko erlazioa da. Matematikoki ondoko osagaiak erlazionatzen ditu:

- 1) Artikulazioen aldagaiak eta haien deribatuak (abiadura, azelerazioa)
- 2) Artikulazioetan eragindako indarrak eta momentuak
- 3) Robotaren berezko parametroak (luzerak, masa eta inertziak)

Bat edo bi askatasun graduoko robotentzat eredu dinamikoa ez da oso konplexua, baina askatasun gehiago dituzten roboten kasuan konplexutasuna handitzen da eta metodo konputazionalak erabili behar dira.

DINAMIKA: SARRERA

Eredu dinamikoaren lorpena

Lagrange-Euler formulazioa

Lagrange-tarra erabiliz energi balantze bat egitean datza. Robotaren dinamika kutxa beltz bat bezala deskribatzea ahalbidetzen du, robotaren kate-mailetan bilduta dagoen energia zinetikoa eta potentziala kontutan hartuz.

$$\text{Lagrange-tarra } L(q, \dot{q}) = K(q, \dot{q}) - U(q)$$

Higidura-ekuazioa

$$\frac{d}{dt} \left(\frac{\partial L}{\partial \dot{q}} \right) - \frac{\partial L}{\partial q} = \tau$$

Newton-Euler formulazioa

Indarren eta momentuen balantza egitean datza. Horretarako, katemaila bakoitzaren higidura lineala eta angeluarra deskribatzen dituzten ekuazioak formulatzen dira.

Newton

$$\sum F = m \ddot{v}$$

Euler

$$\sum T = I \ddot{w} + w \times (I w)$$

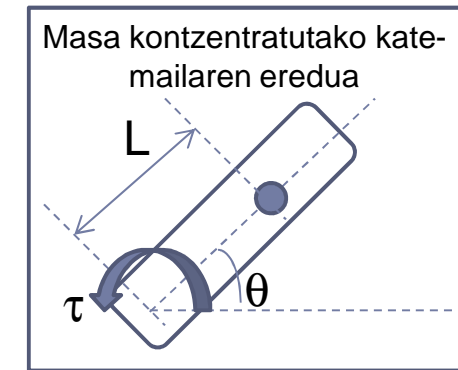


DINAMIKA: LAGRANGEREN FORMULAZIOA

ADIBIDEA 1: Masa kontzentratutako kate-mailaren eredu

$$\frac{d}{dt} \left(\frac{\partial L}{\partial \dot{q}} \right) - \frac{\partial L}{\partial q} = \tau$$

qi= artikulazioen koord.
 $\tau=q_1$ bakoitzetan aplikatutako
indar eta pareak
L=lagrange-tarra
K=Energia zinetikoa
U=Energia potentziala



$$L(q, \dot{q}) = K(q, \dot{q}) - U(q)$$

$$K = \frac{1}{2} I \dot{\theta}^2$$

$$I = ML^2$$

$$U = Mgh = M g L \sin \theta$$

$$L = K - U = \frac{1}{2} ML^2 \dot{\theta}^2 - M g L \sin \theta$$

$$\frac{\partial L}{\partial q} = -M g L \cos \theta$$

$$\frac{\partial L}{\partial \dot{q}} = ML^2 \dot{\theta}$$

$$\frac{d}{dt} \left(\frac{\partial L}{\partial \dot{q}} \right) = ML^2 \ddot{\theta}$$

Higidura-ekuazioa

$$ML^2 \ddot{\theta} + M g L \cos \theta = \tau$$

DINAMIKA: LAGRANGEREN FORMULAZIOA

ADIBIDEA 2 : 2 askatasun-graduko robot planoa

$$\frac{d}{dt} \left(\frac{\partial L}{\partial \dot{q}} \right) - \frac{\partial L}{\partial q} = \tau \quad L = K - U$$

1 pausua: energia zinetikoaren kalkulua (K)

$$K = \sum_{i=1}^n K_i$$

Besoaren energia zinetikoa, robotaren kate-maila bakoitzen energia zinetikoen batuketa da. Kate-maila bakoitzaren energia zinetikoa bi terminoz osatua dago, bata **higidura lineala** zehazten duena, eta bigarrena **higidura angeluarra**:

$$K_i = \frac{1}{2} m_i \mathbf{v}_i^T \mathbf{v}_i + \frac{1}{2} \omega_i^T \mathbf{I}_i \omega_i$$

m_i = i kate-mailaren masa
 \mathbf{v}_i = i kate-mailaren masa-zentroaren abiadura lineala
 \mathbf{I}_i =i kate-mailaren masa-zentroaren inertzia-tentsorea

N kate-mailentzako:

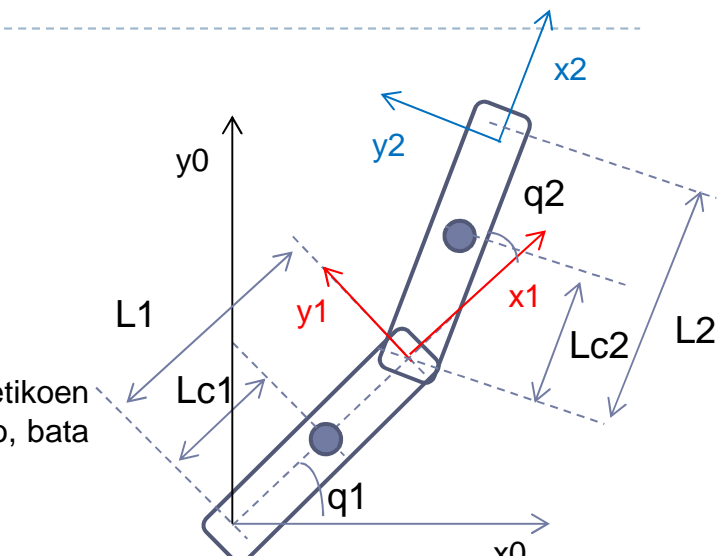
$$\begin{bmatrix} \mathbf{v} \\ \boldsymbol{\omega} \end{bmatrix} = \begin{bmatrix} \mathbf{J}_v(\mathbf{q}) \\ \mathbf{J}_\omega(\mathbf{q}) \end{bmatrix} \cdot \mathbf{q} \quad \text{gogoratu: 5. Gaia Jacobtarra}$$

$$K = \frac{1}{2} \dot{\mathbf{q}}^T \sum_{i=1}^n [m_i \cdot \mathbf{J}_{v_i}^T(\mathbf{q}) \cdot \mathbf{J}_{v_i}(\mathbf{q}) + \mathbf{J}_{\omega_i}^T(\mathbf{q}) \cdot \mathbf{I}_i \mathbf{J}_{\omega_i}(\mathbf{q})] \dot{\mathbf{q}}$$

Matrize forman:

$$K = \frac{1}{2} \dot{\mathbf{q}}^T D(\mathbf{q}) \dot{\mathbf{q}}$$

Oharra: kate-mailaren puntu guzietan abiadura angeluarra berdina den bitartean, ez da gauza bera gertatzen abiadura linealarekin puntu bakoitzean desberdina delako, horregatik masa-zentroaren abiadura erabiltzen da .



DINAMIKA: LAGRANGEREN FORMULAZIOA

ADIBIDEA 2 : 2 askatasun-graduko robot planoa

1 pausua: energia zinetikoaren kalkulua (K)

Kate-maila 1: $K_1 = \frac{1}{2} m_1 v_1^T v_1 + \frac{1}{2} \omega_1^T I_1 \omega_1$

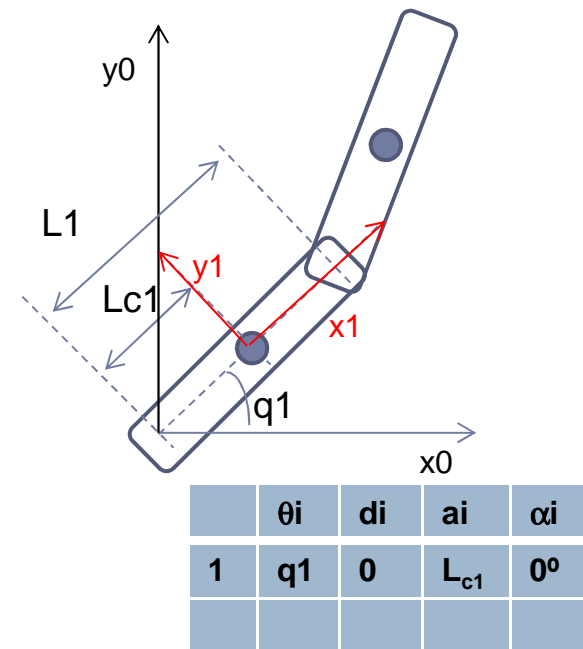
Lehenengo kate-mailaren TMH a kalkulatzen dugu:

$${}^0_1 A = \begin{bmatrix} Cq_1 & -Sq_1 & 0 & \boxed{L_{c1}Cq_1} \\ Sq_1 & Cq_1 & 0 & \boxed{L_{c1}Sq_1} \\ 0 & 0 & 1 & 0 \\ 0 & 0 & 0 & 1 \end{bmatrix} \rightarrow \begin{aligned} x &= L_{c1}Cq_1 \\ y &= L_{c1}Sq_1 \\ z &= 0 \end{aligned}$$

Jacobtarra erabiliz:

$$J = \begin{bmatrix} \frac{\partial x}{\partial q_1} & \frac{\partial x}{\partial q_2} & \frac{\partial x}{\partial q_3} \\ \frac{\partial y}{\partial q_1} & \frac{\partial y}{\partial q_2} & \frac{\partial y}{\partial q_3} \\ \frac{\partial z}{\partial q_1} & \frac{\partial z}{\partial q_2} & \frac{\partial z}{\partial q_3} \end{bmatrix} = \begin{bmatrix} -L_{c1}Sq_1 & 0 & 0 \\ L_{c1}Cq_1 & 0 & 0 \\ 0 & 0 & 0 \end{bmatrix} \rightarrow v_1 = \begin{bmatrix} -L_{c1}Sq_1 & 0 & 0 \\ L_{c1}Cq_1 & 0 & 0 \\ 0 & 0 & 0 \end{bmatrix} \begin{bmatrix} \dot{q}_1 \\ \dot{q}_2 \\ \dot{q}_3 \end{bmatrix} = \begin{bmatrix} -L_{c1}Sq_1 \dot{q}_1 \\ L_{c1}Cq_1 \dot{q}_1 \\ 0 \end{bmatrix}$$

1 kate-mailaren abiadura lineala



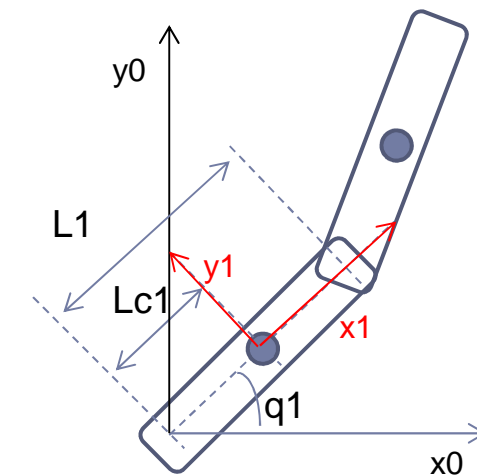
DINAMIKA: LAGRANGEREN FORMULAZIOA

ADIBIDEA 2 : 2 askatasun-graduko robot planoa

1 pausua: energia zinetikoaren kalkulua (K)

Energia zinetikoa $K_1 = \frac{1}{2} m_1 \mathbf{v}_1^T \mathbf{v}_1 + \frac{1}{2} \boldsymbol{\omega}_1^T \mathbf{I}_1 \boldsymbol{\omega}_1$

$$\mathbf{v}_1^T \mathbf{v}_1 = \begin{bmatrix} -L_{c1} S q_1 \dot{q}_1 & L_{c1} C q_1 \dot{q}_1 & 0 \end{bmatrix} \begin{bmatrix} -L_{c1} S q_1 \dot{q}_1 \\ L_{c1} C q_1 \dot{q}_1 \\ 0 \end{bmatrix} = L_{c1}^2 \dot{q}_1^2$$



1 kate-mailaren abiadura **angeluarra** :

$$\vec{w}_1 = \dot{q}_1 \vec{z}_0$$

1 kate-mailaren energia zinetikoa :

$$K_1 = \frac{1}{2} m_1 L_{c1}^2 \dot{q}_1^2 + \frac{1}{2} \mathbf{I}_1 \dot{q}_1^2$$

DINAMIKA: LAGRANGEREN FORMULAZIOA

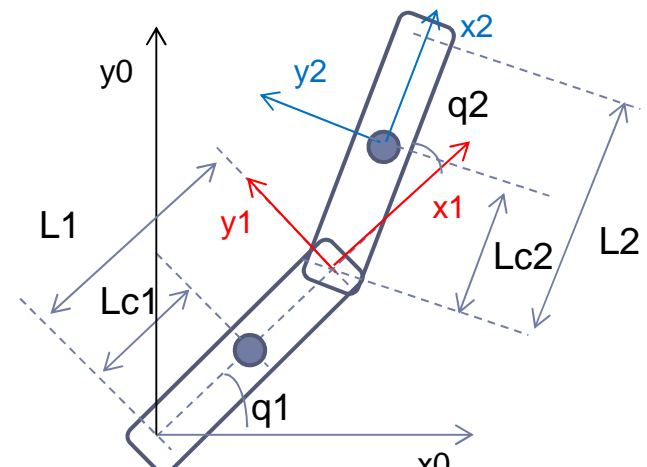
ADIBIDEA 2 : 2 askatasun-graduko robot planoa

1 pausua: energia zinetikoaren kalkulua (K)

2 kate-maila : $K_2 = \frac{1}{2} m_2 \mathbf{v}_2^T \mathbf{v}_2 + \frac{1}{2} \boldsymbol{\omega}_2^T \mathbf{I}_2 \boldsymbol{\omega}_2$

Bigarren kate-mailaren TMH a kalkulatzen dugu:

$${}^0_2 A = {}^0_1 A {}^1_2 A = \begin{bmatrix} Cq_1 & -Sq_1 & 0 & L_1 Cq_1 \\ Sq_1 & Cq_1 & 0 & L_1 Sq_1 \\ 0 & 0 & 1 & 0 \\ 0 & 0 & 0 & 1 \end{bmatrix} \begin{bmatrix} Cq_2 & -Sq_2 & 0 & L_{c2} Cq_2 \\ Sq_2 & Cq_2 & 0 & L_{c2} Sq_2 \\ 0 & 0 & 1 & 0 \\ 0 & 0 & 0 & 1 \end{bmatrix}$$



	θ_i	d_i	a_i	α_i
1	q_1	0	L_1	0°
2	q_2	0	L_{c2}	0°

$${}^0_2 A = {}^0_1 A {}^1_2 A = \begin{bmatrix} Cq_1 Cq_2 - Sq_1 Sq_2 & -Cq_1 Sq_2 - Sq_1 Cq_2 & 0 & Cq_1 L_{c2} Cq_2 - Sq_1 L_{c2} Sq_2 + L_1 Cq_1 \\ Sq_1 Cq_2 + Cq_1 Cq_2 & -Sq_1 Sq_2 + Cq_1 Cq_2 & 0 & Sq_1 L_{c2} Cq_2 + Cq_1 L_{c2} Sq_2 + L_1 Sq_1 \\ 0 & 0 & 1 & 0 \\ 0 & 0 & 0 & 1 \end{bmatrix} = \begin{bmatrix} x \\ y \\ z \\ 1 \end{bmatrix}$$

DINAMIKA: LAGRANGEREN FORMULAZIOA

ADIBIDEA 2 : 2 askatasun-graduko robot planoa

1 pausua: energia zinetikoaren kalkulua (K)

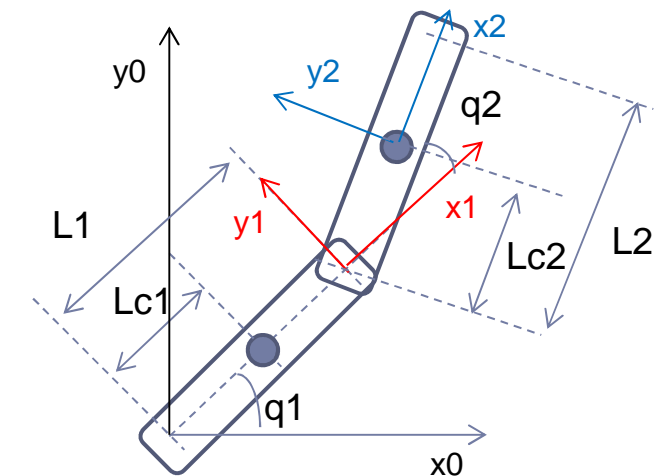
2 kate-maila: $K_2 = \frac{1}{2} m_2 \mathbf{v}_2^T \mathbf{v}_2 + \frac{1}{2} \boldsymbol{\omega}_2^T \mathbf{I}_2 \boldsymbol{\omega}_2$ gogoratzapena

Jacotarra erabiliz:

$$\begin{aligned} S(q1 \pm q2) &= Sq1Cq2 \pm Cq1Sq2 \\ C(q1 \pm q2) &= Cq1Cq2 \mp Sq1Sq2 \end{aligned}$$

$$J = \begin{bmatrix} \frac{\partial x}{\partial q_1} & \frac{\partial x}{\partial q_2} & \frac{\partial x}{\partial q_3} \\ \frac{\partial y}{\partial q_1} & \frac{\partial y}{\partial q_2} & \frac{\partial y}{\partial q_3} \\ \frac{\partial z}{\partial q_1} & \frac{\partial z}{\partial q_2} & \frac{\partial z}{\partial q_3} \end{bmatrix} = \begin{bmatrix} -L_1Sq1 - L_{c2}[S(q1+q2)] & -L_{c2}[S(q1+q2)] & 0 \\ L_1Cq1 - L_{c2}[C(q1+q2)] & L_{c2}[C(q1+q2)] & 0 \\ 0 & 0 & 0 \end{bmatrix}$$

$$\mathbf{v}_2 = \begin{bmatrix} -L_1Sq1 - L_{c2}[S(q1+q2)] & -L_{c2}[S(q1+q2)] & 0 \\ L_1Cq1 - L_{c2}[C(q1+q2)] & L_{c2}[C(q1+q2)] & 0 \\ 0 & 0 & 0 \end{bmatrix} \begin{bmatrix} \dot{q1} \\ \dot{q2} \\ 0 \end{bmatrix} = \begin{bmatrix} (-L_1Sq1 - L_{c2}[S(q1+q2)])\dot{q1} - L_{c2}[S(q1+q2)]\dot{q2} \\ (L_1Cq1 - L_{c2}[C(q1+q2)])\dot{q1} + L_{c2}[C(q1+q2)]\dot{q2} \\ 0 \end{bmatrix}$$



DINAMIKA: LAGRANGEREN FORMULAZIOA

ADIBIDEA 2 : 2 askatasun-graduko robot planoa

1 pausua: energia zinetikoaren kalkulua (K)

2 kate-maila: $K_2 = \frac{1}{2} m_2 \mathbf{v}_2^T \mathbf{v}_2 + \frac{1}{2} \boldsymbol{\omega}_2^T \mathbf{I}_2 \boldsymbol{\omega}_2$

$$\mathbf{v}_2^T \mathbf{v}_2 = \begin{bmatrix} (-L_1 S q_1 - L_{c2} [S(q_1+q_2)]) \dot{q}_1 - L_{c2} [S(q_1+q_2)] \dot{q}_2 & (L_1 C q_1 - L_{c2} [C(q_1+q_2)]) \dot{q}_1 + L_{c2} [C(q_1+q_2)] \dot{q}_2 & 0 \end{bmatrix} \begin{bmatrix} (-L_1 S q_1 - L_{c2} [S(q_1+q_2)]) \dot{q}_1 - L_{c2} [S(q_1+q_2)] \dot{q}_2 \\ (L_1 C q_1 - L_{c2} [C(q_1+q_2)]) \dot{q}_1 + L_{c2} [C(q_1+q_2)] \dot{q}_2 \\ 0 \end{bmatrix}$$

2 kate-mailaren abiadura **angeluarra**:

$$\vec{w}_2 = (\dot{q}_1 + \dot{q}_2) \vec{z}_0$$

Terminoak batuz, 2 kate-mailaren energia zinetikoa:

$$K_2 = \frac{1}{2} m_2 \left[L_1^2 \dot{q}_1^2 + L_{c2}^2 (\dot{q}_1 + \dot{q}_2)^2 + 2L_1 L_{c2} (\dot{q}_1^2 + \dot{q}_1 \dot{q}_2) \cos q_2 \right] + \frac{1}{2} \mathbf{I}_2 (\dot{q}_1 + \dot{q}_2)^2$$

DINAMIKA: LAGRANGEREN FORMULAZIOA

ADIBIDEA 2 : 2 askatasun-graduko robot planoa

2. pausua: energia potentzialaren kalkulua (U)

Besoaren energia potentziala, robotaren kate-maila bakoitzen energia potentzialen batuketa da, hau da:

$$U = \sum_{i=1}^n U_i \quad \text{Matrize eran}$$

$$U_i = m_i g^T p_{ci}$$

m_i = i kate-mailaren masa
 g = grabilitate-bektorea
 p_{ci} =i kate-mailaren masa-zentrua kokatzen duen bektorea, hasierako erreferentzi sistemarekiko

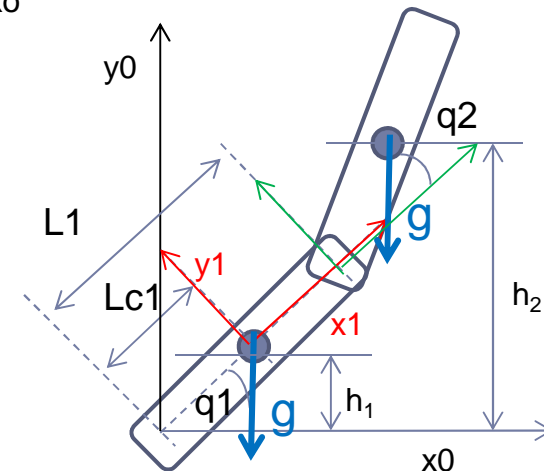
1 kate-maila:

$$U = U(q)$$

$$U_1 = m_1 g L_{c1} \operatorname{sen} q_1$$

Eslabon 2:

$$U_2 = m_2 g [L_1 \operatorname{sen} q_1 + L_{c2} \operatorname{sen}(q_1 + q_2)]$$



DINAMIKA: LAGRANGEREN FORMULAZIOA

ADIBIDEA 2 : 2 askatasun-graduko robot planoa

3. eta 4. pasua lagrangetarraren eta higidura-ekuazioaren kalkulua

$$L(\dot{q}, \ddot{q}) = K(\dot{q}, \ddot{q}) - U(q)$$

Higidura-ekuazioa:

$$\frac{\partial L}{\partial \dot{q}_k} = \sum_{j=1}^n d_{kj}(q) \cdot \dot{q}_j$$

$$\frac{d}{dt} \left(\frac{\partial L}{\partial \dot{q}_k} \right) = \sum_{j=1}^n d_{kj}(q) \cdot \ddot{q}_j + \sum_{j=1}^n \frac{d}{dt} d_{kj}(q) \cdot \dot{q}_j =$$

$$= \sum_{j=1}^n d_{kj}(q) \cdot \ddot{q}_j + \sum_{i=1}^n \sum_{j=1}^n \frac{\partial d_{kj}}{\partial q_i} \dot{q}_i \cdot \dot{q}_j$$

lagrangetarra
Matrize eran:

$$L(\dot{q}, \ddot{q}) = \frac{1}{2} \dot{q}^T D(q) \dot{q} - U(q) = \frac{1}{2} \sum_{i=1}^n \sum_{j=1}^n d_{ij}(q) \cdot \dot{q}_i \cdot \dot{q}_j - U(q)$$

$$\frac{\partial L}{\partial q_k} = \frac{1}{2} \sum_{i=1}^n \sum_{j=1}^n \frac{\partial d_{ij}}{\partial q_k} \dot{q}_i \cdot \dot{q}_j - \frac{\partial U}{\partial q_k}$$

$$\sum_{j=1}^n d_{kj}(q) \cdot \ddot{q}_j + \sum_{i=1}^n \sum_{j=1}^n \left(\frac{\partial d_{kj}}{\partial q_i} - \frac{1}{2} \frac{\partial d_{ij}}{\partial q_k} \right) \dot{q}_i \cdot \dot{q}_j - \frac{\partial U}{\partial q_k} = \tau_k$$

$$\sum_{j=1}^n d_{kj}(q) \cdot \ddot{q}_j + \sum_{i=1}^n \sum_{j=1}^n c_{ijk}(q) \dot{q}_i \cdot \dot{q}_j + \phi(q) = \tau_k$$

Matrize era

$$D(q) \cdot \ddot{q} + C(q, \dot{q}) \cdot \dot{q} + g(q) = \tau$$

Inertia

Coriolis

grabitatea



DINAMIKA: LAGRANGEREN FORMULAZIOA

ADIBIDEA 2 : 2 askatasun-graduko robot planoa

3. Pasua **Lagrangetarraren** kalkulua

Aurreko atalean lortutako ekuazioak
kontutna hartuz:

$$L = \frac{1}{2} m_1 L_{c1}^2 \dot{q}_1^2 + \frac{1}{2} I_1 \dot{q}_1^2 + \frac{1}{2} m_2 [L_1^2 \dot{q}_1^2 + L_{c2}^2 (\dot{q}_1 + \dot{q}_2)^2 + 2L_1 L_{c2} (\dot{q}_1^2 + \dot{q}_1 \dot{q}_2) \cos q_2] + \frac{1}{2} I_2 (\dot{q}_1 + \dot{q}_2)^2 - m_1 g L_{c1} \sin q_1 - m_2 g [L_1 \sin q_1 + L_{c2} \sin(q_1 + q_2)]$$

d₁₁ d₂₁ d₁₁ d₂₂ d₁₂=d₂₂
d₂₂ d₂₂ d₁₂=d₁₂ d₂₂
d₁₂=d₁₂ d₁₂=d₁₂

Berdinduz d_{ij} koefizienteak lortzen dira:

$$d_{11} = m_1 L_{c1}^2 + I_1 + m_2 L_1^2 + m_2 L_{c2}^2 + 2m_2 L_1 L_{c2} \cos q_2 + I_2$$

$$d_{12} = d_{21} = m_2 L_{c2}^2 + m_2 L_1 L_{c2} \cos q_2 + I_2$$

$$d_{22} = m_2 L_{c2}^2 + I_2$$

DINAMIKA: LAGRANGEREN FORMULAZIOA

ADIBIDEA 2 : 2 askatasun-graduko robot planoa

4. pausa higidura-ekuazioaren lorpena

$$\sum_{j=1}^n d_{kj}(q) \cdot \ddot{q}_j + \sum_{i=1}^n \sum_{j=1}^n c_{ijk}(q) \dot{q}_i \cdot \dot{q}_j + \phi(q) = \tau_k$$

Aurreko atalean lortutako ekuazioak kontutan hartuz, c_{ijk} (k=1,2) koefizienteak kalkulatzen dira:

$$d_{11} = m_1 L_{c1}^2 + I_1 + m_2 L_1^2 + m_2 L_{c2}^2 + 2m_2 L_1 L_{c2} \cos q_2 + I_2$$

$$d_{12} = d_{21} = m_2 L_{c2}^2 + m_2 L_1 L_{c2} \cos q_2 + I_2$$

$$d_{22} = m_2 L_{c2}^2 + I_2$$

$$c_{ijk} = \left(\frac{\partial d_{kj}}{\partial q_i} - \frac{1}{2} \frac{\partial d_{ij}}{\partial q_k} \right)$$

$$\left\{ \begin{array}{l} c_{111} = \frac{\partial d_{11}}{\partial q_1} - \frac{1}{2} \frac{\partial d_{11}}{\partial q_1} = 0 \\ c_{121} = \frac{\partial d_{12}}{\partial q_1} - \frac{1}{2} \frac{\partial d_{12}}{\partial q_1} = 0 \\ c_{112} = \frac{\partial d_{21}}{\partial q_1} - \frac{1}{2} \frac{\partial d_{11}}{\partial q_2} = m_2 L_1 L_{c2} \operatorname{sen} q_2 \\ c_{122} = \frac{\partial d_{22}}{\partial q_1} - \frac{1}{2} \frac{\partial d_{12}}{\partial q_2} = -\frac{1}{2} m_2 L_1 L_{c2} \operatorname{sen} q_2 \\ c_{211} = \frac{\partial d_{11}}{\partial q_2} - \frac{1}{2} \frac{\partial d_{21}}{\partial q_1} = -2m_2 L_1 L_{c2} \operatorname{sen} q_2 \\ c_{221} = \frac{\partial d_{12}}{\partial q_2} - \frac{1}{2} \frac{\partial d_{22}}{\partial q_1} = -m_2 L_1 L_{c2} \operatorname{sen} q_2 \\ c_{212} = \frac{\partial d_{21}}{\partial q_2} - \frac{1}{2} \frac{\partial d_{21}}{\partial q_2} = -\frac{1}{2} m_2 L_1 L_{c2} \operatorname{sen} q_2 \\ c_{222} = \frac{\partial d_{22}}{\partial q_2} - \frac{1}{2} \frac{\partial d_{22}}{\partial q_2} = 0 \end{array} \right.$$

DINAMIKA: LAGRANGEREN FORMULAZIOA

ADIBIDEA 2 : 2 askatasun-graduko robot planoa

4. pausua higidura-ekuazioaren lorpena

$$U = -m_1 g L_{c1} \sin q_1 - m_2 g [L_1 \sin q_1 + L_{c2} \sin(q_1 + q_2)]$$

Grabitate terminoa: $\phi_1 = -\frac{\partial U}{\partial q_1} = m_1 g L_{c1} \cos q_1 + m_2 g L_1 \cos q_1 + m_2 g L_{c2} \cos(q_1 + q_2)$

$$\phi_2 = -\frac{\partial U}{\partial q_2} = m_2 g L_{c2} \cos(q_1 + q_2)$$

$$\sum_{j=1}^n d_{kj}(q) \cdot \ddot{q}_j + \sum_{i=1}^n \sum_{j=1}^n c_{ijk}(q) \dot{q}_i \cdot \dot{q}_j + \phi(q) = \tau_k$$

$$\sum_{j=1}^n d_{1j}(q) \cdot \ddot{q}_j + \sum_{i=1}^n \sum_{j=1}^n c_{ij1}(q) \dot{q}_i \cdot \dot{q}_j + \phi_1(q) = \tau_1$$

$$\sum_{j=1}^n d_{2j}(q) \cdot \ddot{q}_j + \sum_{i=1}^n \sum_{j=1}^n c_{ij2}(q) \dot{q}_i \cdot \dot{q}_j + \phi_2(q) = \tau_2$$

Higidura-ekuazioen soluzioa

$$\tau_1 = d_{11} \cdot \ddot{q}_1 + d_{22} \ddot{q}_2 + c_{111} \dot{q}_1^2 + (c_{121} + c_{211}) \dot{q}_1 \cdot \dot{q}_2 + c_{221} \dot{q}_2^2 + \phi_1$$

$$\tau_2 = d_{21} \cdot \ddot{q}_1 + d_{22} \ddot{q}_2 + c_{112} \dot{q}_1^2 + (c_{122} + c_{212}) \dot{q}_1 \cdot \dot{q}_2 + c_{222} \dot{q}_2^2 + \phi_2$$



KONTROL ZINEMATIKOA: SARRERA

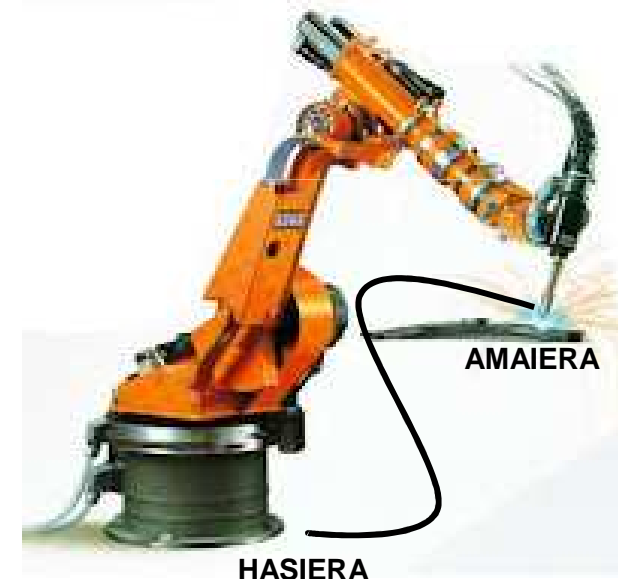
Kontrol zinematikoa robotaren eredu zinematikoan oinarritzen da, eta posizioak eta abiadurak erabiltzen ditu.

HELBURUA:

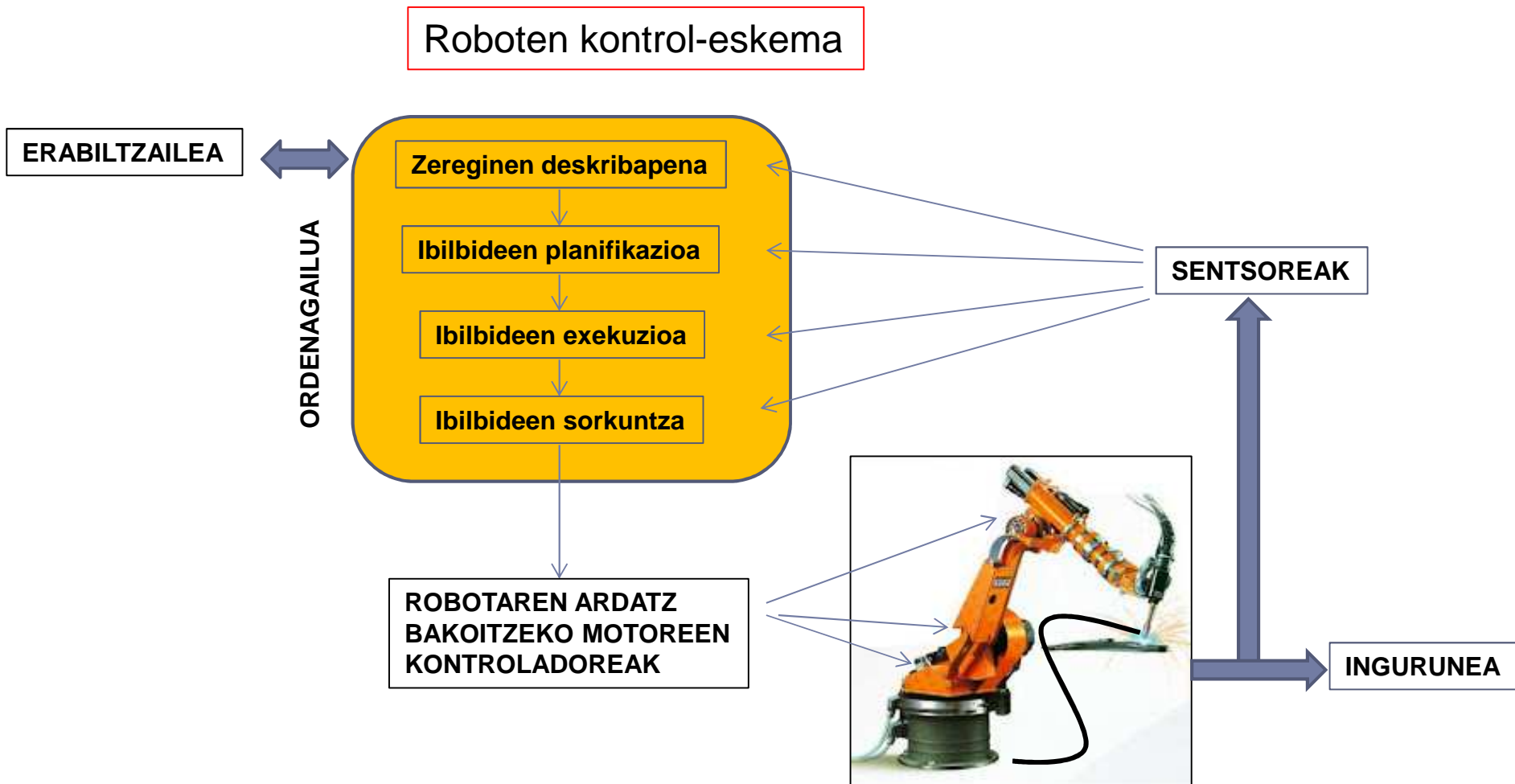
1) Robotaren artikulazio bakoitzak, erabiltzaileak eskatutako ibilbideak jarraitzea da bere helburua:

- Amaiera-puntu
- Muturraren ibilbide-mota
- -erabilitako denbora
- eta abar..

2) Beharrezko da, eragingailuen muga fisikoak kontutan hartzea eta baita ere kalitate irizpideak (zehaztasuna, mugikortasuna...)



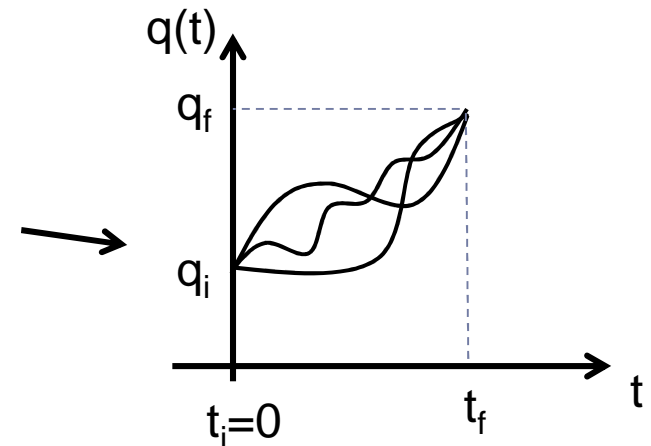
KONTROL ZINEMATIKOA: SARRERA



KONTROL ZINEMATIKOA: IBILBIDE-SORKUNTA

Robot baten mugimendua kontrolatzeko, lehenengo beharrezko da espazioan ibilbide bat sortzea. Ibilbide hau bi modutara egin daiteke:

- 1) Ibilbidearen sorkuntza **artikulazioen espazioan** (q_i). Robotaren besoa puntu batetik beste batera mugitzea denbora epe baten, ibilbidea zehaztu barik.
- 2) Ibilbidearen sorkuntza **kartesiatar espazioan**. Beharrezkoa denean robotak ibilbide zehatz bat jarraitzea (adibidez, soldaketa-lerro bat)



KONTROL ZINEMATIKOA: IBILBIDE-SORKUNTA

Ibilbide motak
artikulazioen
espazioan

Puntuz puntuko Ibilbideak

*Artikulazio bakoitzaren mugimendua
independentea besteekiko*

Koordinatutako ibilbideak

Artikulazio bakoitzaren mugimendua aldiberean gertatzen da. Artikulazio guztiak aldiberean mugitzen hasiko dira eta baita ere amaituko dute, horretarako artikulazio bakoitzaren abiadurak egokituz.

Ardatz ardatzeko mugimendua

*Artikulazio bakoitzen mugimendua
ondoz ondokoa denean. Exekuzio-
denbora altuak.*

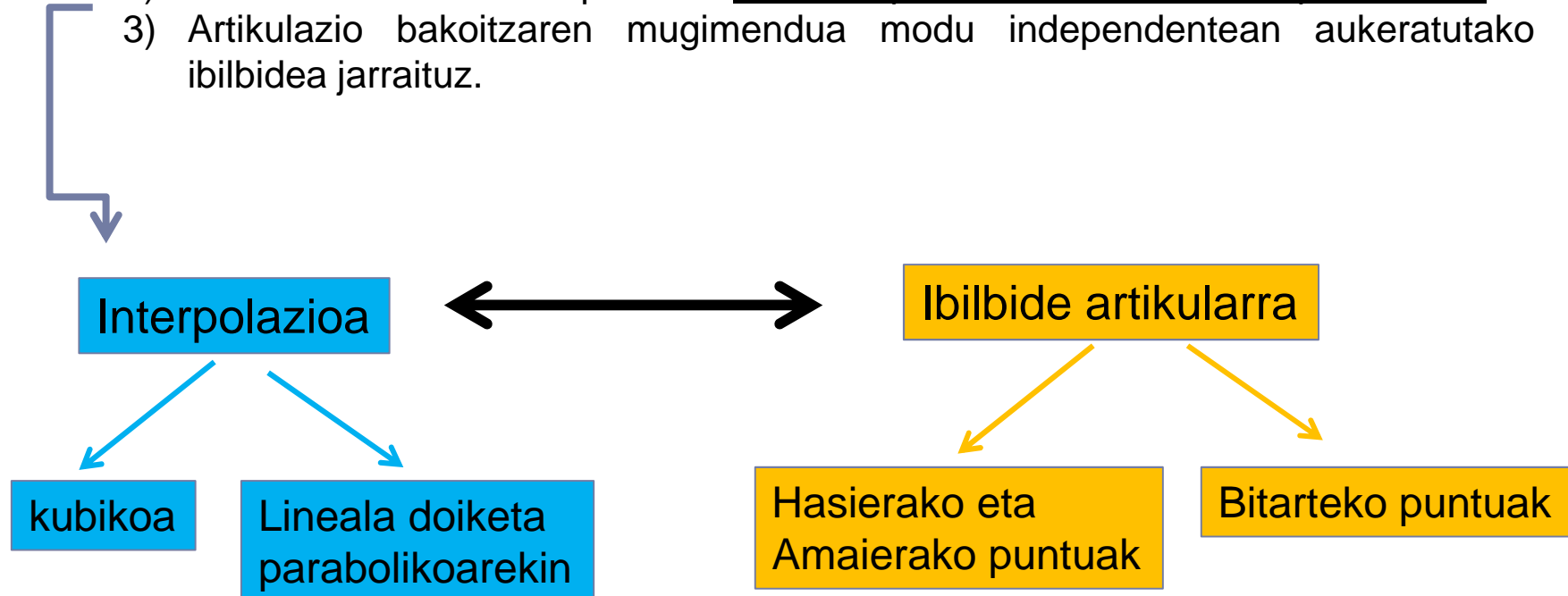
Ardatzen aldibereko mugimendua

*Ardatz bakoitzen mugimendua
aldiberean gertatzen direnean, baina
artikulazio bakoitzak bere amaierako
posizioa lortzen duenean denbora epe
desberdinetan. Abiadura maximoak
eskatzten dira.*

KONTROL ZINEMATIKOA: IBILBIDE-SORKUNTZA

Ibilbide-motak artikulazioen espazioan

- 1) Hasierako, amaierako eta bitarteko puntuen bihurketa artikulazioen balioetan (alderantzizko zinematika, 5. gaia)
- 2) Artikulazio balioen interpolazioa bitarteko puntuekin edo bitarteko puntu barik.
- 3) Artikulazio bakoitzaren mugimendua modu independentean aukeratutako ibilbidea jarraituz.



KONTROL ZINEMATIKOA: IBILBIDE-SORKUNTA

Hasierako eta amaierako puntuekin egindako interpolazioa

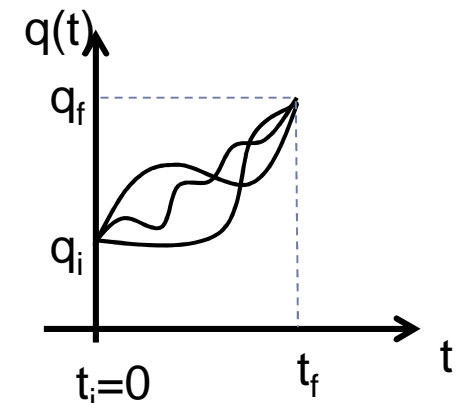
Hasierako eta amaierako puntuak hartzen dira kontutan soilik, ondorioz ibilbide desberdinak daude (ikus irudia). Mugimendu jarraiak sortzeko 4 inguruneko baldintza bete behar dira :

$$\begin{aligned} q(t_{ini}) &= q(0) = q_{ini} \\ q(t_{fin}) &= q_{fin} \end{aligned}$$

Erabakitako hasierako puntuak eta amaierako puntuetatik pasatzen dela bermatzen dutenak.

$$\begin{aligned} \dot{q}(t_{ini}) &= \dot{q}(0) = 0 \\ \dot{q}(t_{fin}) &= 0 \end{aligned}$$

Hasierako eta amaierako abiadurak zero direla bermatzen dutenak



KONTROL ZINEMATIKOA: IBILBIDE-SORKUNTZA

Hasierako eta amaierako puntuvekin egindako ibilbide artikularren interpolazioa

Interpolazio kubikoa

Aurreko 4 baldintzak 3. graduko polinomio batekin bete daitezke:

$$q(t) = a + b t + c t^2 + d t^3$$

$$q(t_{ini}) = q(0) = q_{ini} \rightarrow a = q_{ini}$$

$$q(t_{fin}) = q_{fin} \rightarrow q(t_{fin}) = a + b t_{fin} + c t_{fin}^2 + d t_{fin}^3 = q_{fin}$$

$$\dot{q}(t_{ini}) = \dot{q}(0) = 0$$

$$\dot{q}(t_{fin}) = 0$$

deribatuz

$$\dot{q}(t) = b + 2c t + 3d t^2$$

$$\dot{q}(t_{ini}) = \dot{q}(0) = b \Rightarrow b = 0$$

$$\dot{q}(t_{fin}) = 2c t_{fin} + 3d t_{fin}^2 = 0$$

KONTROL ZINEMATIKOA: IBILBIDE-SORKUNTA

Hasierako eta amaierako puntuekin egindako ibilbide artikularren interpolazioa

Interpolazio kubikoa

$$q(t_{fin}) = a + b t_{fin} + c t_{fin}^2 + d t_{fin}^3 = q_{fin}$$

$$a = q_{ini}$$

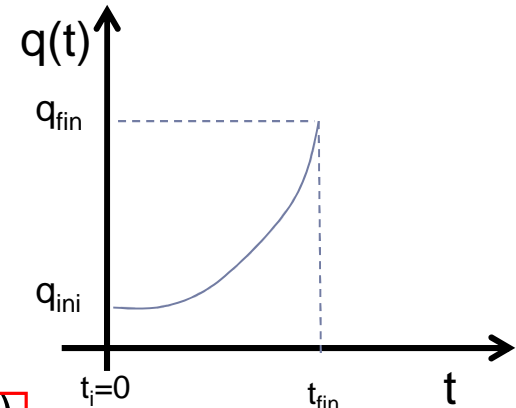
$$b = 0$$

$$q_{ini} + c t_{fin}^2 + d t_{fin}^3 = q_{fin}$$

$$2 c t_{fin} + 3 d t_{fin}^2 = 0$$

$$c = \frac{3(q_{fin} - q_{ini})}{t_{fin}^2}$$

$$d = \frac{-2(q_{fin} - q_{ini})}{t_{fin}^3}$$



KONTROL ZINEMATIKOA: IBILBIDE-SORKUNTA

Hasierako eta amaierako puntuekin egindako ibilbide artikularren interpolazioa

Interpolazio kubikoa

Adibidea:

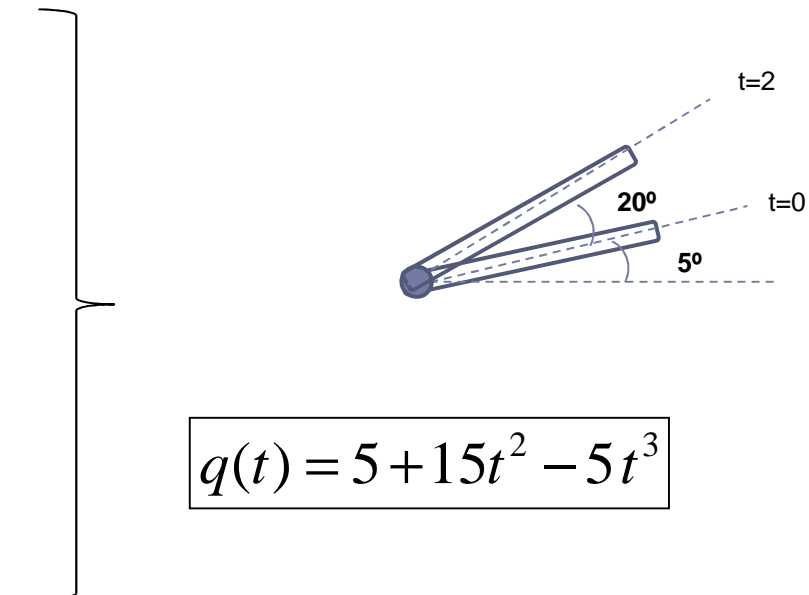
Demagun hasieran 5° biratuta dagoen biraketa-artikulazio bakarreko robota. 2 segundutan 20° biratzen duen **interpolazio kubikoa** kalkulatu.

$$a = q_{ini} = 5^\circ$$

$$b = 0$$

$$c = \frac{3(q_{fin} - q_{ini})}{t_{fin}^2} = \frac{3(25 - 5)}{4} = 15$$

$$d = \frac{-2(q_{fin} - q_{ini})}{t_{fin}^3} = \frac{-2(25 - 5)}{8} = -5$$



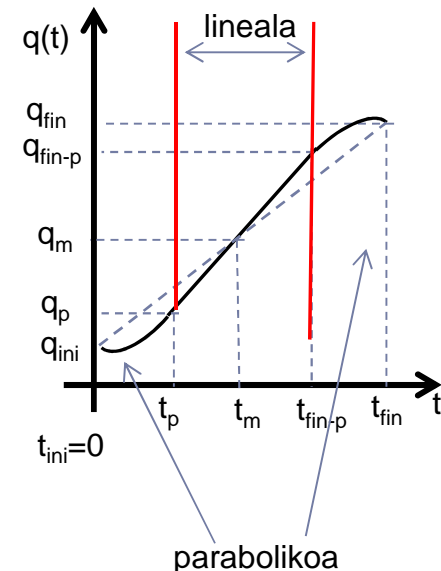
KONTROL ZINEMATIKOA: IBILBIDE-SORKUNTA

Hasierako eta amaierako puntuekin egindako ibilbide artikularren interpolazioa

Interpolazio lineala doiketa PARABOLIKOAREKIN

Bigarren interpolazio metodo bat hasierako eta amaierako puntuena arteko **doiketa lineala** egitea da. Hala ere, doiketa mota honetan artikulazioaren abiadura konstantea da denbora tartea osoan, eta ondorioz azelerazio infinituak ekartzen ditu hasieran eta amaieran.

Arazo hau ekiditeko, **ibilbidea 3 zatitan** egiten da, lehenengoa parabolikoa, bitarteko lineala eta azkena parabolikoa berriro. Lehenengo zatiak, azelerazio konstante baten bitartez, abiadura bat lortzea ahalbidetzen du. Bigarren zati linealean abiadura konstantea mantentzen da (azelerazioa=0). Azkeneko zatian, dezelerazio bat ezartzen da q_{fin} puntuari abiadura zero izan arte.



KONTROL ZINEMATIKOA: IBILBIDE-SORKUNTA

Hasierako eta amaierako puntuekin egindako ibilbide artikularren interpolazioa

Interpolazio lineala doiketa PARABOLIKOAREKIN

I zati parabolikoa: $t \in (0, t_p)$

Ekuazioa: $q_I(t) = a_I + b_I t + c_I t^2$ $\xrightarrow{\text{deribatuz}}$ $\dot{q}_I(t) = b_I + 2c_I t$ $\xrightarrow{\text{deribatuz}}$ $\ddot{q}_I(t) = 2c_I$

Hasierako baldintzak

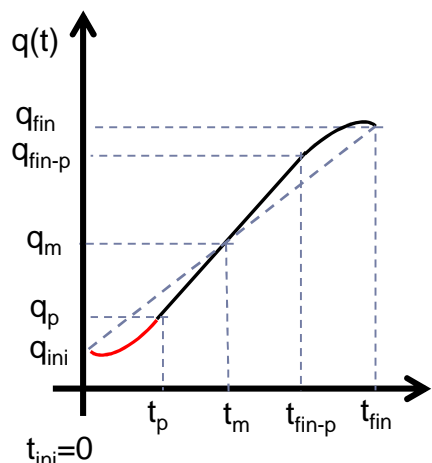
$$q_I(t_{ini}) = q_I(0) = q_{ini}$$

$$a_I = q_{ini}$$

$$\dot{q}_I(t_{ini}) = \dot{q}_I(0) = 0$$

$$b_I = 0$$

$$c_I = \frac{\ddot{q}_I}{2}$$



I zati parabolikoaren ekuazioa:

$$q_I(t) = q_{ini} + \frac{\ddot{q}_I}{2} t^2 \quad t \in (0, t_p)$$

KONTROL ZINEMATIKOA: IBILBIDE-SORKUNTZA

Hasierako eta amaierako puntuekin egindako ibilbide artikularren interpolazioa

Interpolazio lineala doiketa PARABOLIKOAREKIN

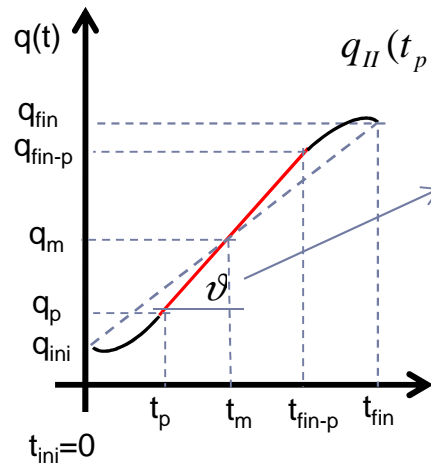
II zati LINEALA: $t \in (t_p, t_{fin-p})$

Ekuazioa: $q_{II}(t) = \alpha + \beta(t - t_p)$

$$q_I(t_p) = q_{II}(t_p) = q_p$$

$$q_I(t_p) = q_p = q_{ini} + \frac{\ddot{q}_I}{2} t_p^2$$

$$q_{II}(t_p) = \alpha$$



$$\begin{aligned} t_m &= \frac{t_{fin} + t_{ini}}{2} \\ q_m &= \frac{q_{fin} + q_{ini}}{2} \end{aligned}$$

Artikulazioaren abiadura= I zatiaren abiadura t_p denboran

deribatuz

$$\dot{q}_{II}(t) = \beta$$

$$\dot{q}_I(t_p) = \ddot{q}_I t_p$$

$$\alpha = q_p$$

$$\beta = \ddot{q}_I t_p$$

Malda = abiadura

$$\ddot{q}_{II} t_p = \frac{q_{fin} + q_{ini} - 2q_p}{t_{fin} + t_{ini} - 2t_p} = \frac{q_{fin} - q_{ini} - \ddot{q}_I t_p^2}{t_{fin} + t_{ini} - 2t_p}$$

$$t_p = t_m - \frac{\sqrt{\ddot{q}_I^2 t_m^2 - \ddot{q}_I (q_{fin} - q_{ini})}}{\ddot{q}_I}$$

KONTROL ZINEMATIKOA: IBILBIDE-SORKUNTZA

Hasierako eta amaierako puntuekin egindako ibilbide artikularren interpolazioa

Interpolazio lineala doiketa PARABOLIKOAREKIN

III zati parabolikoa: $t \in (t_{fin-p}, t_{fin})$

Ekuazioa: $q_{III}(t) = a_{III} + b_{III} t + c_{III} t^2$

Deribatuz:

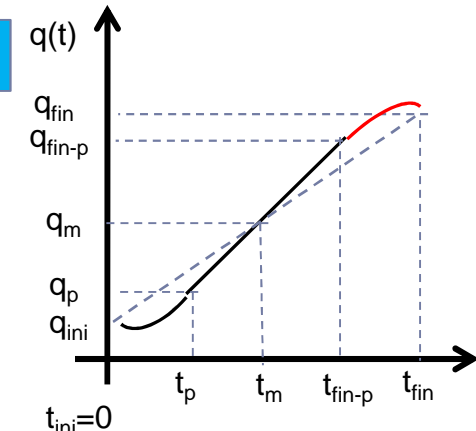
$$\dot{q}_{III}(t) = b_{III} + 2c_{III} t$$

$$\dot{q}_{III}(t_{fin}) = 0^\circ/s \Rightarrow 0 = b_{III} + 2c_{III} t_{fin} \Rightarrow b_{III} = -2c_{III} t_{fin}$$

Abiadura II zatian t_{fin-p} denboran = Abiadura III zatian t_{fin-p} denboran

$$\dot{q}_{III}(t_{fin} - t_p) = \ddot{q} t_p \Rightarrow \ddot{q} t_p = b_{III} + 2c_{III} (t_{fin} - t_p)$$

$$c_{III} = \frac{\ddot{q}_{III}}{2} \quad b_{III} = -\ddot{q}_{III} t_{fin}$$



$$q_{III}(t_{fin}) = q_{fin} = a_{III} + b_{III} t_{fin} + c_{III} t_{fin}^2$$

$$a_{III} = q_{fin} + \frac{\ddot{q}_{III}}{2} t_{fin}^2$$

KONTROL ZINEMATIKOA: IBILBIDE-SORKUNTZA

Hasierako eta amaierako puntuekin egindako ibilbide artikularren interpolazioa

Interpolazio lineala doiketa PARABOLIKOAREKIN

Adibidea:

Demagun hasieran 5° biratuta dagoen eta $40^\circ/s^2$ azelerazioa daukan biraketa-artikulazio bakarreko robota. Kalkulatu 2 segundutan 20° biratzen duen **interpolazio lineala doiketa parabolikoarekin**.

Datuak:

$$t_{fin} = 2 \text{ s}$$

$$t_m = 1 \text{ s}$$

$$q_{ini} = 5^\circ$$

$$q_{fin} = 25^\circ$$

$$q_m = 15^\circ$$

$$\ddot{q}_I = 40^\circ / s^2$$

$$\ddot{q}_{III} = -40^\circ / s^2$$

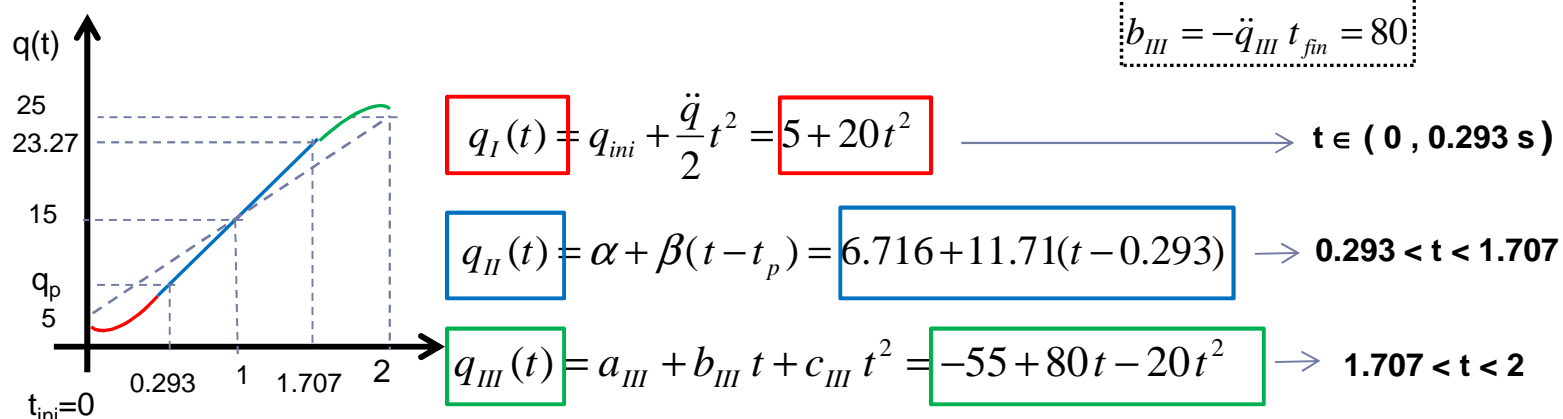
$$t_p = 1 - \frac{\sqrt{40^2 1^2 - 40(25 - 5)}}{40} = 0.293 \text{ s}$$

$$\beta = \dot{q} t_p = 40 \cdot 0.293 = 11.71^\circ / \text{s}$$

$$a_{III} = q_{fin} + \frac{\ddot{q}_{III}}{2} t_{fin}^2 = -55$$

$$q_p = \alpha = 5 + 20 t_p^2 = 6.716^\circ$$

$$c_{III} = \frac{\ddot{q}_{III}}{2} = -20$$
$$b_{III} = -\ddot{q}_{III} t_{fin} = 80$$



KONTROL ZINEMATIKOA: IBILBIDE-SORKUNTA

BITARTEKO puntuekin egindako ibilbide artikularren interpolazioa

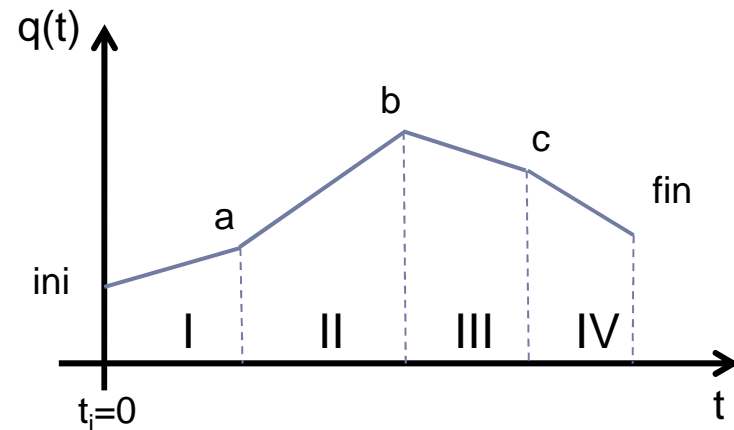
Interpolazio KUBIKOA

Kasu batzuetan, beharrezko da artikulazio bakoitzak egin behar dituen ibilbidetan, bitarteko puntuak definitzea. Orokorean orain arte ikusitako metodoak erabili daitezke, bitarteko puntu bakoitza zati baten amaiera eta hurrengoaren hasiera konsideratuz; arazo bakarra, bitarteko puntu horietan abiadura zero izatea behartzen duela, nahiz eta beharrezkoa ez izan.

Bitarteko abiaduren balioak erabiltzaileak zehaztu behar ditu. Orokorean, ondoz ondoko bi ibilbide-zatien maldak **zeinuz kontrakoak badira, abiadura zero hartzen** da. Ostea, **maldak zeinu berekoak** badira, bi abiaduren arteko **batez besteko abiadura** hartzen da

Adibidea:

- a puntuaren abiadura= I eta II zatien batez besteko abiadura
- b puntuaren abiadura = 0, Zeinuz kontrako maldak
- c puntuaren abiadura= III eta IV zatien batez besteko abiadura



KONTROL ZINEMATIKOA: IBILBIDE-SORKUNTA

BITARTEKO puntuekin egindako ibilbide artikularren interpolazioa

Interpolazio KUBIKOA

$$q(t) = a + b t + c t^2 + d t^3$$

deribatuz

$$\dot{q}(t) = b + 2c t + 3d t^2$$



abiadurak:

$$\begin{aligned} q(t_{ini}) &= q(0) = q_{ini} \rightarrow a = q_{ini} \\ q(t_{fin}) &= q_{fin} \end{aligned}$$

$$\begin{aligned} \dot{q}(t_{ini}) &= \dot{q}(0) = \dot{q}_{ini} \\ \dot{q}(t_{fin}) &= \dot{q}_{fin} \end{aligned}$$

$$\dot{q}(t_{ini}) = \dot{q}(0) = b \Rightarrow b = \dot{q}_{ini}$$

$$q(t_{fin}) = q_{ini} + \dot{q}_{ini} t_{fin} + c t_{fin}^2 + d t_{fin}^3 = q_{fin}$$

$$\dot{q}(t_{fin}) = \dot{q}_{ini} + 2c t_{fin} + 3d t_{fin}^2 = \dot{q}_{fin}$$



$$c = \frac{3(q_{fin} - q_{ini})}{t_{fin}^2} - \frac{2\dot{q}_{ini} + \dot{q}_{fin}}{t_{fin}}$$

$$d = \frac{-2(q_{fin} - q_{ini})}{t_{fin}^3} + \frac{\dot{q}_{fin} + \dot{q}_{ini}}{t_{fin}^2}$$

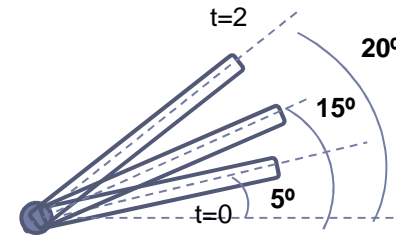
KONTROL ZINEMATIKOA: IBILBIDE-SORKUNTZA

BITARTEKO puntuekin egindako ibilbide artikularren interpolazioa

Interpolazio KUBIKOA

Adibidea:

Demagun hasieran 5° biratuta dagoen biraketa-artikulazio bakarreko robota. 2 segundotan 20° biratzen duen **interpolazio kubikoak** kalkulatu, jakinik bitarteko puntu batetik pasatu behar dela 15° ko biraketa duena $5^\circ/\text{s}$ -ko abiadurarekin. Hasierako eta amaierako abiadurak zero direla kontsideratzen da.



I zatia

$$q_I(t) = a_I + b_I t + c_I t^2 + d_I t^3$$

$$a_I = q_{ini} = 5^\circ$$

$$b_I = \dot{q}_{ini} = 0$$

$$c_I = \frac{3(q_{fin} - q_{ini})}{t_{fin}^2} - \frac{2\dot{q}_{ini} + \dot{q}_{fin}}{t_{fin}} = \frac{3(15-5)}{1^2} - \frac{2 \cdot 0 + 5}{1} = 25$$

$$d_I = \frac{-2(q_{fin} - q_{ini})}{t_{fin}^3} + \frac{\dot{q}_{fin} + \dot{q}_{ini}}{t_{fin}^2} = \frac{-2(15-5)}{1^3} + \frac{5+0}{1^2} = -15$$

II zatia

$$q_{II}(t) = a_{II} + b_{II} t + c_{II} t^2 + d_{II} t^3$$

$$a_{II} = q_{IIini} = 15^\circ$$

$$b_{II} = \dot{q}_{IIini} = 5$$

$$c_{II} = \frac{3(q_{fin} - q_{IIini})}{t_{fin}^2} - \frac{2\dot{q}_{IIini} + \dot{q}_{fin}}{t_{fin}} = \frac{3(15-15)}{1^2} - \frac{2 \cdot 5 + 0}{1} = 5$$

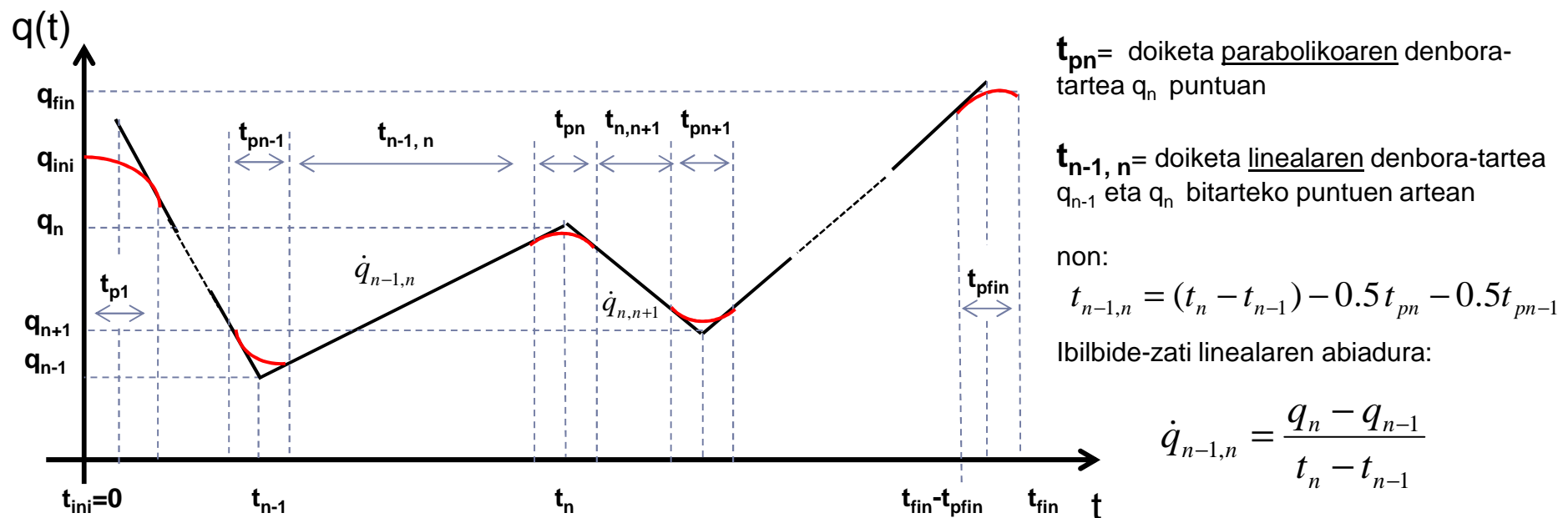
$$d_{II} = \frac{-2(q_{fin} - q_{IIini})}{t_{fin}^3} + \frac{\dot{q}_{fin} + \dot{q}_{IIini}}{t_{fin}^2} = \frac{-2(20-15)}{1^3} + \frac{0+5}{1^2} = -5$$

KONTROL ZINEMATIKOA: IBILBIDE-SORKUNTZA

BITARTEKO puntuekin egindako ibilbide artikularren interpolazioa

Interpolazio lineala doiketa PARABOLIKOAREKIN

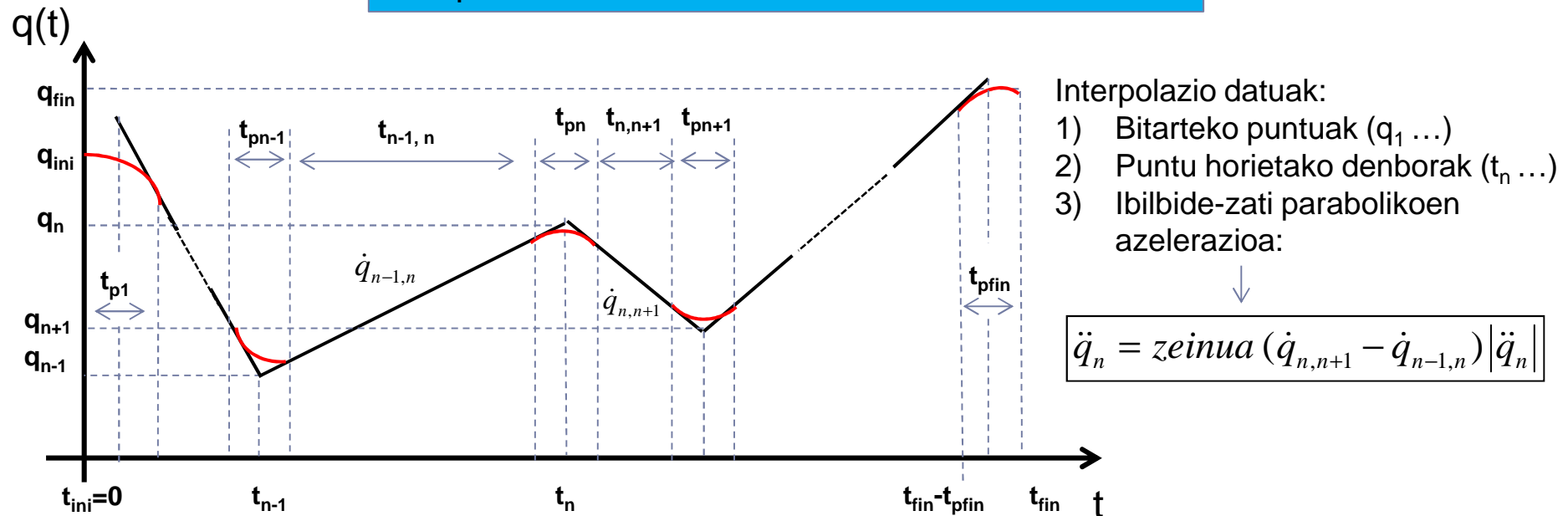
Interpolazio mota honetan eta bitarteko puntuen abiadurak desberdinak direnez, hasierako eta amaierako ibilbide-zati parabolikoak ezin dira simetrikoak izan, aurreko kasuan bezala (bitarteko puntu barik).



KONTROL ZINEMATIKOA: IBILBIDE-SORKUNTZA

BITARTEKO puntuekin egindako ibilbide artikularren interpolazioa

Interpolazio lineala doiketa PARABOLIKOAREKIN

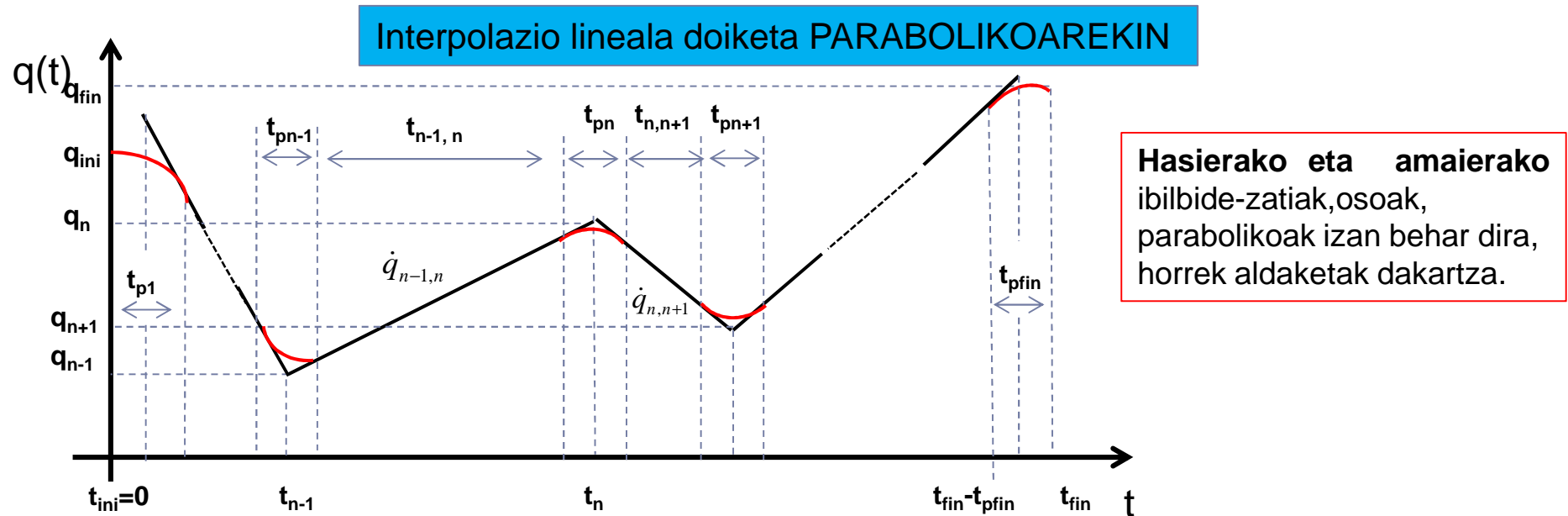


Ibilbidea zehaztuta izateko, bitarteko puntu batera hurbiltzen doan zati parabolikoan egon behar den denbora kalkulatu behar :

$$t_{pn} = \frac{\dot{q}_{n,n+1} - \dot{q}_{n-1,n}}{\ddot{q}_n}$$

KONTROL ZINEMATIKOA: IBILBIDE-SORKUNTZA

BITARTEKO puntuekin egindako ibilbide artikularren interpolazioa



HASIERAKOA

$$t_{1,2} = t_2 - t_{p1} - 0.5 t_{p2}$$

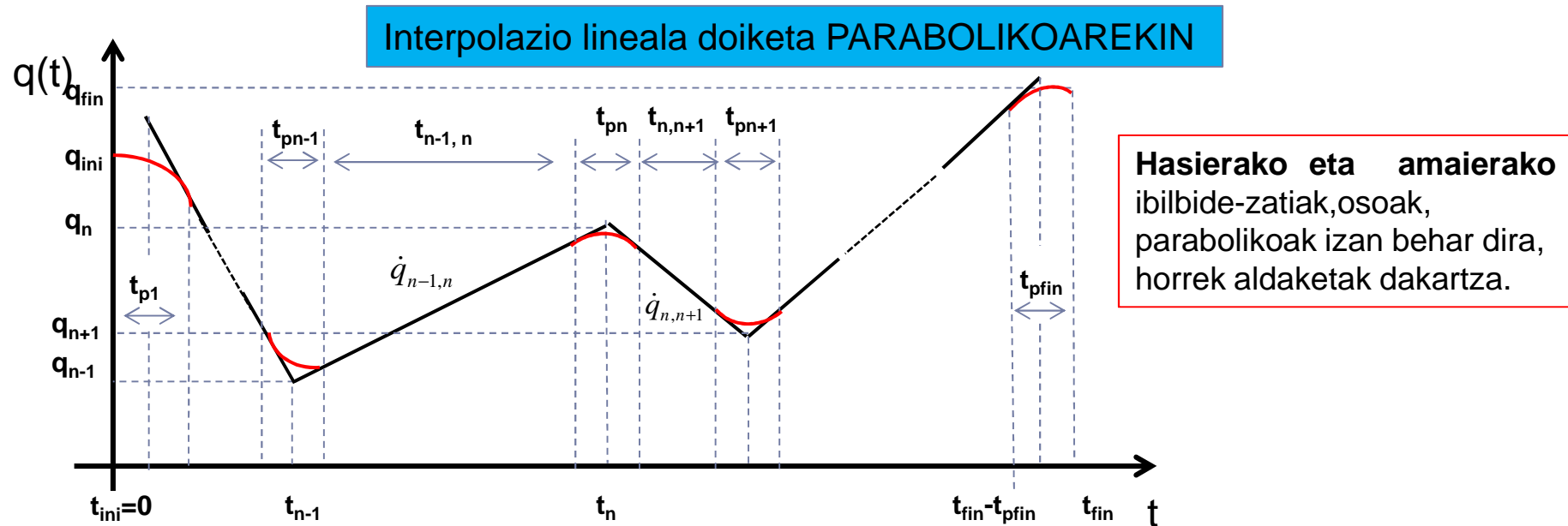
$$t_{p1} = t_2 - \sqrt{t_2^2 - \frac{2(q_2 - q_1)}{\ddot{q}_1}}$$

$$\ddot{q}_1 = signo (q_2 - q_1) |\ddot{q}_1|$$

$$\dot{q}_{1,2} = \frac{q_2 - q_1}{t_2 - 0.5 t_{p1}}$$

KONTROL ZINEMATIKOA: IBILBIDE-SORKUNTZA

BITARTEKO puntuekin egindako ibilbide artikularren interpolazioa



AMAIERAKOA

$$t_{fin-1,fin} = t_{fin} - t_{fin-1} - t_{pfin} - 0.5 t_{n+1}$$

$$t_{pfin} = (t_{fin} - t_{fin-1}) - \sqrt{(t_{fin} - t_{fin-1})^2 - \frac{2(q_{fin} - q_{fin-1})}{\dot{q}_{fin}}}$$

$$\ddot{q}_{fin} = signo (q_{fin} - q_{fin-1}) |\ddot{q}_{fin}|$$

$$\dot{q}_{fin-1,fin} = \frac{q_{fin} - q_{fin-1}}{(t_{fin} - t_{fin-1}) - 0.5 t_{pfin}}$$

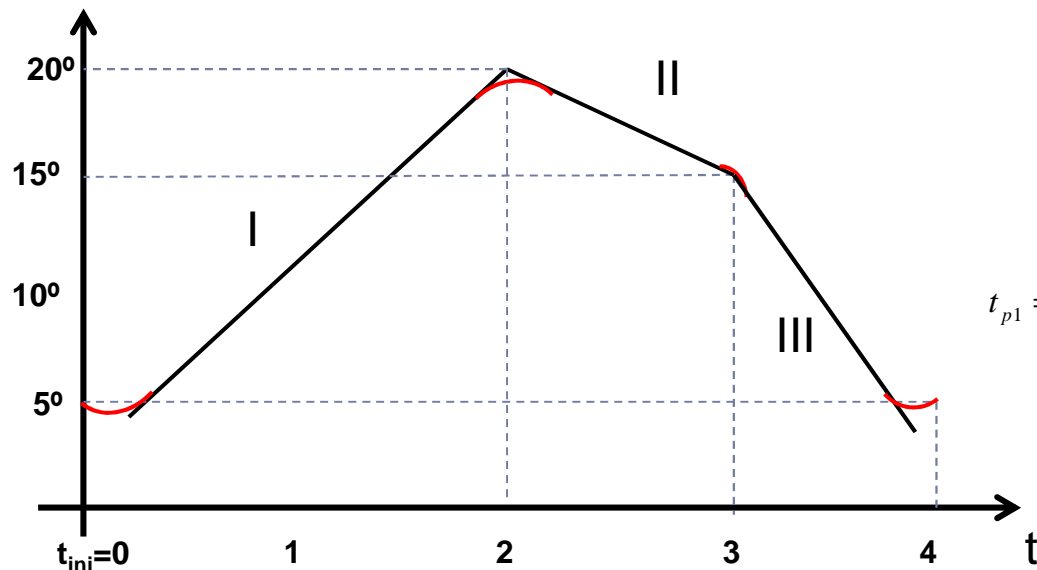
KONTROL ZINEMATIKOA: IBILBIDE-SORKUNTZA

BITARTEKO puntuekin egindako ibilbide artikularren interpolazioa

Interpolazio lineala doiketa PARABOLIKOAREKIN

Adibidea:

Demagun artikulazio errotazional bakarreko robot bat. 5° , 20° , 15° , 5° puntuetatik pasatu behar du eta azelerazioa $30^\circ/s^2$ -koa izan behar da. Kalkulatu interpolazio linealeko doiketa parabolikoaren parametroak. Hasierako eta amaierako abiadurak zero dira.



I Zatia

I zati parabolikoaren azelerazioa:

$$\ddot{q}_1 = \text{zeinua } (q_2 - q_1) |\ddot{q}_1| = 30^\circ / s^2$$

$$t_{p1} = t_2 - \sqrt{t_2^2 - \frac{2(q_2 - q_1)}{\ddot{q}_1}} = 2 - \sqrt{2^2 - \frac{2(20 - 5)}{30}} = 0.268 \text{ s}$$

I zati linealaren abiadura:

$$\dot{q}_{1,2} = \frac{q_2 - q_1}{t_2 - 0.5t_{p1}} = \frac{20 - 5}{2 - 0.5 \cdot 0.268} = 8.04^\circ / s$$

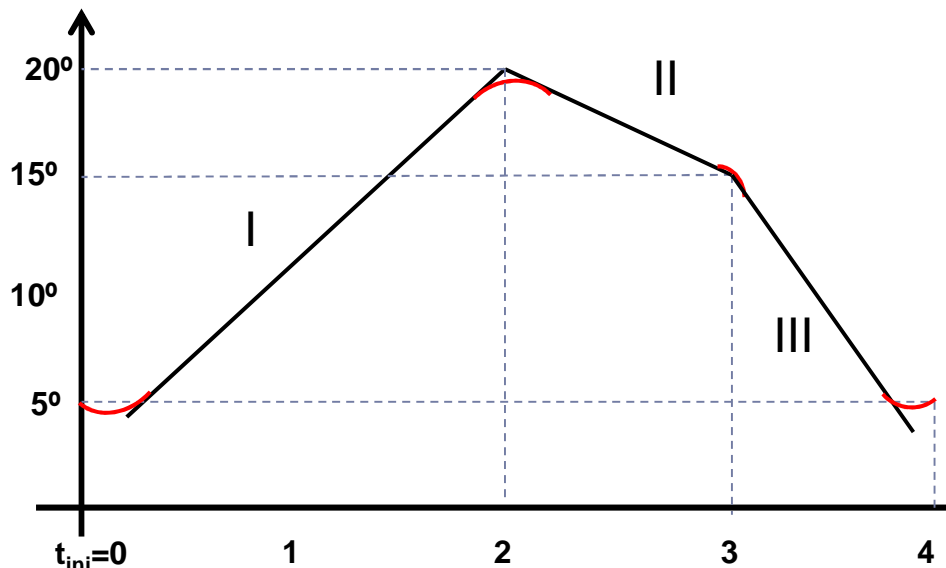
KONTROL ZINEMATIKOA: IBILBIDE-SORKUNTZA

BITARTEKO puntuekin egindako ibilbide artikularren interpolazioa

Interpolazio lineala doiketa PARABOLIKOAREKIN

Adibidea:

Demagun artikulazio errotazional bakarreko robot bat. 5° , 20° , 15° , 5° puntuetatik pasatu behar du eta azelerazioa $30^\circ/s^2$ -koa izan behar da. Kalkulatu interpolazio linealeko doiketa parabolikoaren parametroak. Hasierako eta amaierako abiadurak zero dira.



II Zatia

II zati parabolikoaren azelerazioa:

$$\ddot{q}_2 = \text{zeinua} (\dot{q}_{2,3} - \dot{q}_{1,2}) |\ddot{q}_2| = -30^\circ / s^2$$

II zati linealaren abiadura :

$$\dot{q}_{n-1,n} = \frac{q_n - q_{n-1}}{t_n - t_{n-1}} \rightarrow \dot{q}_{2,3} = \frac{q_3 - q_2}{t_3 - t_2} = \frac{15 - 20}{3 - 2} = -5^\circ / s$$

$$t_{pn} = \frac{\dot{q}_{n,n+1} - \dot{q}_{n-1,n}}{\ddot{q}_n} \rightarrow t_{p2} = \frac{\dot{q}_{2,3} - \dot{q}_{1,2}}{\ddot{q}_2} = 0.435 \text{ s}$$

$$t_{1,2} = t_2 - t_{p1} - 0.5 t_{p2} = 2 - 0.268 - 0.5 \cdot 0.435 = 1.514 \text{ s}$$

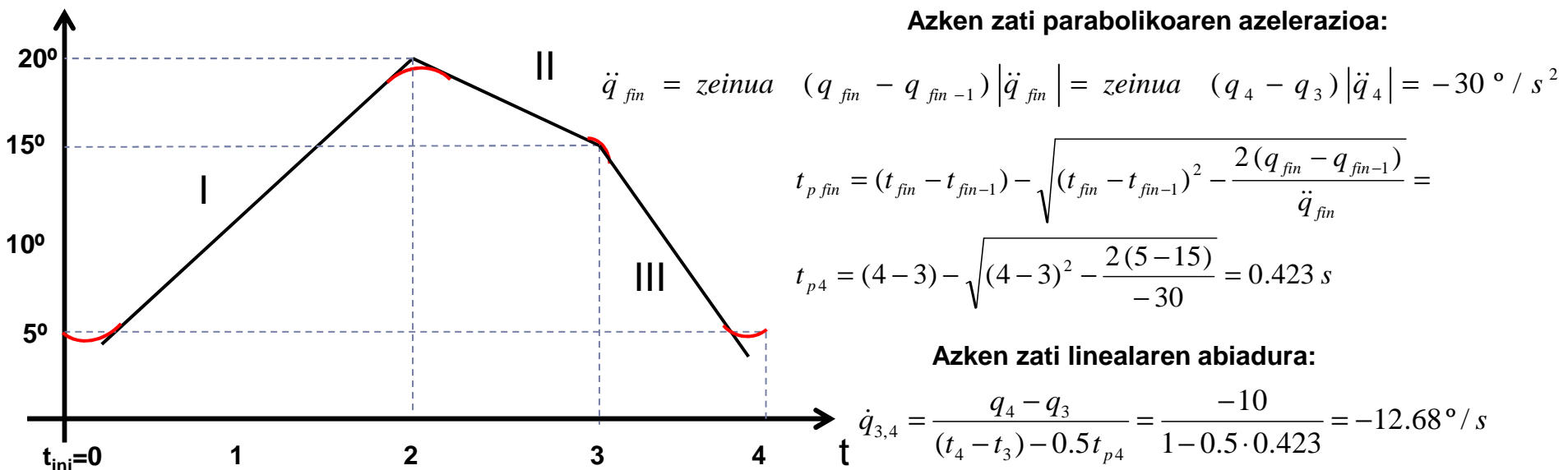
KONTROL ZINEMATIKOA: IBILBIDE-SORKUNTZA

BITARTEKO puntuekin egindako ibilbide artikularren interpolazioa

Interpolazio lineala doiketa PARABOLIKOAREKIN

Adibidea:

Demagun artikulazio errotazional bakarreko robot bat. 5° , 20° , 15° , 5° puntuetatik pasatu behar du eta azelerazioa $30^\circ/\text{s}^2$ -koa izan behar da. Kalkulatu interpolazio linealeko doiketa parabolikoaren parametroak. Hasierako eta amaierako abiadurak zero dira.



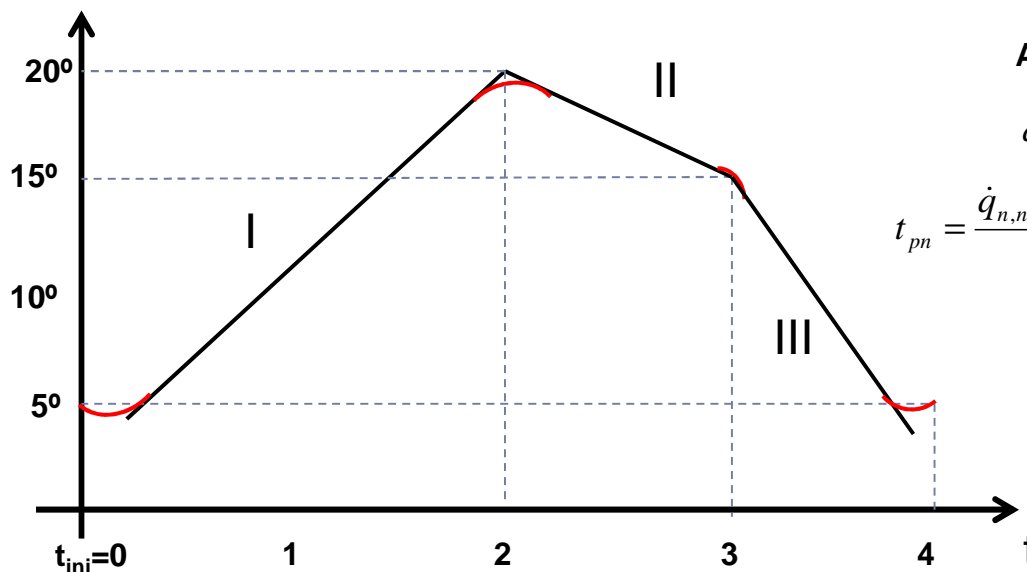
KONTROL ZINEMATIKOA: IBILBIDE-SORKUNTZA

BITARTEKO puntuekin egindako ibilbide artikularren interpolazioa

Interpolazio lineala doiketa PARABOLIKOAREKIN

Adibidea:

Demagun artikulazio errotazional bakarreko robot bat. 5° , 20° , 15° , 5° puntuetatik pasatu behar du eta azelerazioa $30^\circ/s^2$ -koa izan behar da. Kalkulatu interpolazio linealeko doiketa parabolikoaren parametroak. Hasierako eta amaierako abiadurak zero dira.



Azkenaurreko zati parabolikoaren azelerazioa:

$$\ddot{q}_3 = \text{zeinua } (\dot{q}_{3,4} - \dot{q}_{2,3}) |\ddot{q}_3| = -30^\circ / s^2$$

$$t_{pn} = \frac{\dot{q}_{n,n+1} - \dot{q}_{n-1,n}}{\ddot{q}_n} \rightarrow t_{p3} = \frac{\dot{q}_{3,4} - \dot{q}_{2,3}}{\ddot{q}_3} = \frac{-12.68 - (-5)}{-30} = 0.256 \text{ s}$$

3. eta 4. zati denborak:

$$t_{n-1,n} = (t_n - t_{n-1}) - 0.5 t_{pn} - 0.5 t_{pn-1}$$

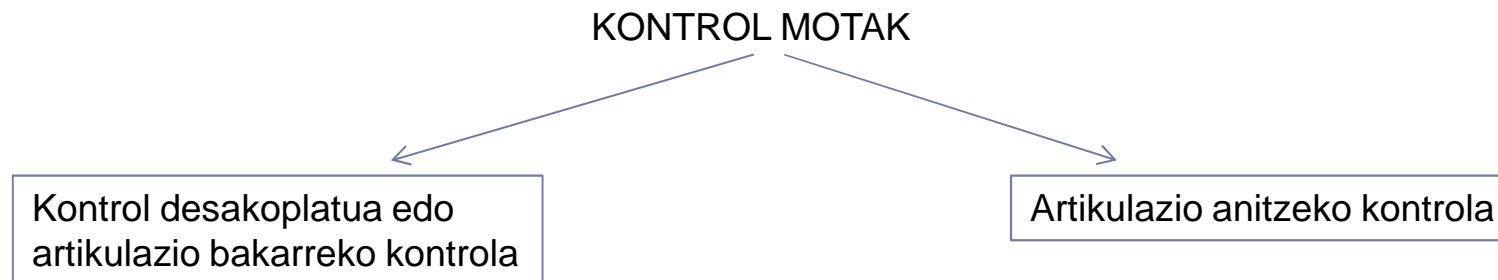
$$t_{2,3} = (t_3 - t_2) - 0.5 t_{p3} - 0.5 t_{p2} = 0.654 \text{ s}$$

$$t_{3,4} = (t_4 - t_3) - 0.5 t_{p4} - 0.5 t_{p3} = 0.66 \text{ s}$$

KONTROL ZINEMATIKOA: HIGIDURAREN KONTROL ZINEMATIKOA

Higiduraren kontrola artikulazioen espazioan

Robotaren muturrak ibilbide bat jarrai dezan, beharrezko da artikulazio bakoitzak ibilbide zehatz bat jarraitzea. Beraz, higiduraren kontrola artikulazioen espazioan egin daiteke, ibilbide bakoitzentzako erreferentziak zehatzuz.



Robotaren eredu **artikulazio independentez** osatutakoa dela onartzan da, euren arteko elkarrekintza kontuan izan barik. Kasu honetan, eragingailuaren eredu motor elektrikoa bat da.

Desabantaila nagusiena, artikulazio baten mugimenduak daukan eragina besteengan eta ondorioz robotaren mugimendu osoan.

Robotaren ereduan, **eredu dinamiko osoa** kontuan hartzen da. Hau da, **artikulazioen arteko mugimendu guztiak** kontuan hartzen ditu. Analitikoki ebazteko konplexuagoa da.

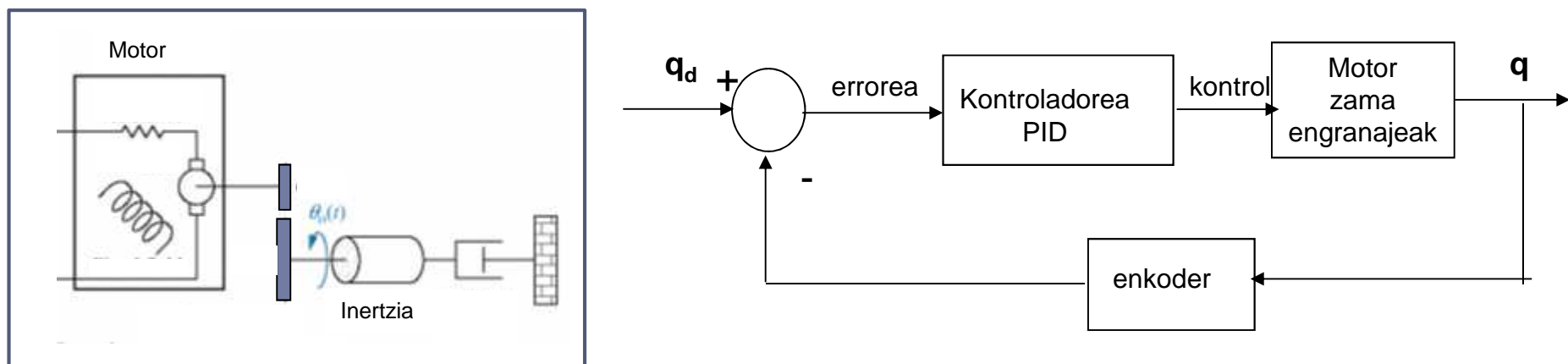
KONTROL ZINEMATIKOA: HIGIDURAREN KONTROL ZINEMATIKOA

Higiduraren kontrola artikulazioen espazioan

Kontrol monoartikularra

Kasu honetan, ibilbide-sortzaileak artikulazio bakoitzarentzako, modu independente baten, dagokion ibilbidea sortzen du, beharrezkoak diren erreferentzi puntuak lortuz artikulazioa mugitzeko. Robotikan eragingailu erabilienak **korronte zuzeneko motorrak** dira.

Korronte zuzenko motor baten eredu dinamikoa eta bloke-diagrama ondokoak lirateke:



KONTROL ZINEMATIKOA: HIGIDURAREN KONTROL ZINEMATIKOA

Higiduraren kontrola artikulazioen espazioan

Kontrol multiartikularra

Robotaren kontrol zehatzago bat lortzeko, beharrezko da MIMO (Multiple Input Multiple Output) sistema bat bezala modelatzea. Artikulazioen **posizio, abiadura eta azelerazioko bektoreak** kontuan izanik, kontroladoreak **kontrol-seinaleen bektore bat bidaltzen du (kontrol-legea)** artikulazio bakoitzen motorrak aktibatzeko.

Aurreko atal baten lortutako **higidura-ekuazioa** gogoratuz:

$$D(q) \cdot \ddot{q} + C(q, \dot{q}) \cdot \dot{q} + g(q) = \tau$$

Inertia Coriolis grabitatea

n askatasun garduko robot batentzat eta **PD** (Proportzional-Deribatibo) kontroladore bat erabiliz, kontrol-legea ondokoa izango litzateke: $\tau = K_p(q_d - q) + K_d(\dot{q}_d - \dot{q}) = D(q) \cdot \ddot{q} + C(q, \dot{q}) \cdot \dot{q} + g(q)$

Non **Kp** eta **Kd**, PD kontroladorearen parametroak,
n x n matrizeak diren.

Kontrol sistemaren bloke-diagrama

